

Le ministère des Ressources naturelles et de la Faune du Québec (MRNF) et Ressources naturelles Canada (NRCan) remercient amicalement Xstrata Zinc Canada et Mines Virginia inc. d'avoir prouvé ces données au plan...

Auteurs : Commission Géologique du Canada et Ministère des Ressources naturelles et de la Faune du Québec

Authors: Geological Survey of Canada and Ministère des Ressources naturelles et de la Faune du Québec



DOSSIER PUBLIC 5943 DE LA CGC / GSC OPEN FILE 5943 DP 2008-04 DU MRNF

SÉRIE DES CARTES GÉOPHYSIQUES / GEOPHYSICAL SERIES

LEVÉS MEGATEMTM II DE LA CEINTURE DE ROCHES VERTES DE L'ABITIBI, QUÉBEC / MEGATEMTM II SURVEYS OF THE ABITIBI GREENSTONE BELT, QUÉBEC

COMPOSANTE RÉSIDUELLE DU CHAMP MAGNÉTIQUE TOTAL / RESIDUAL TOTAL MAGNETIC FIELD

Échelle 1/50 000 - Scale 1:50 000

Projection Transverse méridienne de Mercator / Transverse Mercator Projection

Universal Transverse Mercator Projection / Projection Universelle Transverse Méridienne

© Le Québec et le Canada 2009

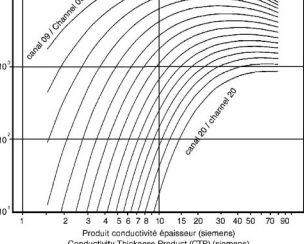
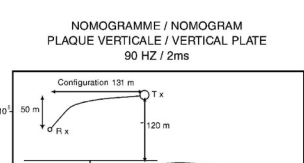
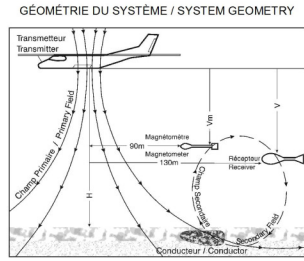
Les versions numériques de ces cartes ainsi que les données géophysiques en formats « profil » et « maille » et les listes d'anomalies peuvent être téléchargées gratuitement depuis le site de la Commission géologique du Canada...

Cette carte et les données géophysiques numériques peuvent être aussi obtenues à partir de « Produits et services en ligne » sur le site Internet du ministère des Ressources naturelles et de la Faune du Québec.

Digital versions of this map and the corresponding digital line data, gridded geophysical data and anomaly listings by individual survey areas may be downloaded, at no charge, from Natural Resources Canada's Geoscience Data Repository for Geophysical and Geochemical Data...

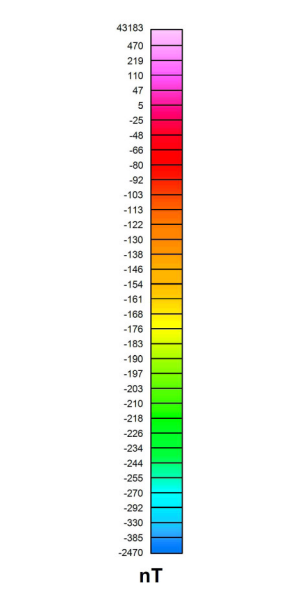
This map and the digital geophysical data may also be obtained from the ministère des Ressources naturelles et de la Faune du Québec Internet web site "Online Products and Services" at http://www.mrfn.nrcan.gc.ca/produits-services/index.jsp

OPEN FILE DOSSIER PUBLIC 5943. Includes contact information for the Ministry of Natural Resources and the Environment of Quebec.



- SYMBOLS DES ANOMALIES ELECTROMAGNETIQUES / ELECTROMAGNETIC ANOMALY SYMBOLS. Legend for various anomaly types like Superficiales / Surficial, Antropique / Cultural, etc.

- SYMBOLS PLANIMÉTRIQUES / PLANIMETRIC SYMBOLS. Legend for roads, trails, railways, and drainage.



SOMMAIRE DES FEUILLETS / MAP SHEET SUMMARY. Table with 4 columns: CGC / GSC Feuille / sheet, CARTE / MAP, MRNF Feuille / sheet, and a numerical index.

Tableau des paramètres des levés / Table of Survey Parameters. Table with columns: Zone Area, Nom du levé / Survey name, Kilomètres / Total Kilometers, Espacement des lignes de contrôle / Control Line Spacing (km), Tr.Rx H (m), Tr.Rx V (m), Durée de la Période / Duration (min), Temps net / Off-Time (min), Moment de la Journée / Time of Day (hr:min).

LEVÉS MEGATEMTM II DE LA CEINTURE DE ROCHES VERTES DE L'ABITIBI, QUÉBEC / MEGATEMTM II SURVEYS OF THE ABITIBI GREENSTONE BELT, QUÉBEC. Includes a map showing the survey locations and a list of public file numbers.

Introduction. Plusieurs gisements de métaux communs découverts en Abitibi depuis les années 1950 ont été trouvés au moyen de techniques géophysiques et géochimiques... Caractéristiques des levés. Ces levés ont été exécutés par FAS entre juillet 2001 et août 2003. Les données obtenues ont été recueillies par un système électromagnétique à domaine temporel du type MEGATEMTM...

Représentation des anomalies électromagnétiques. En raison de contraintes d'échelle, seuls l'emplacement et les caractéristiques de certaines anomalies électromagnétiques sont représentées par des symboles fondés sur les réponses associées aux canaux...

Introduction. Many of the base metal deposits discovered in the Abitibi Mining Camp during the 1950s were found using geochemical and geophysical methods available at that time as well as geological prospecting. Limitations of these older techniques resulted in detection of only those mineral deposits within a narrow area of the earth's surface...

Electromagnetic System. Electromagnetic data were acquired using the MEGATEMTM time domain EM system. The system transmits a signal from a horizontal control on the aircraft, and measures the response of buried conductors using a three-axis X, Y and Z...

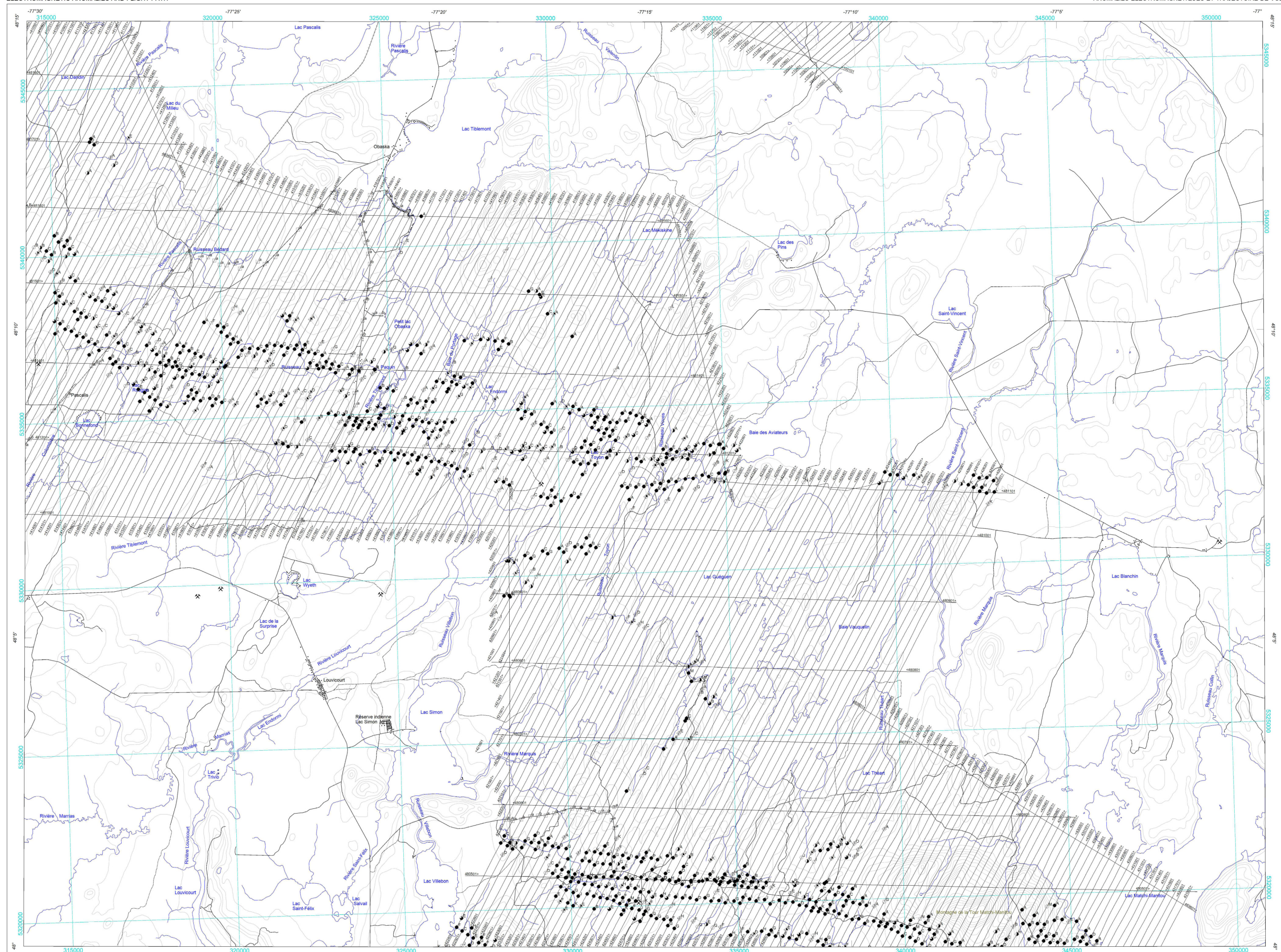
The MEGATEMTM system responds to conductive overburden, near-surface horizontal conductive layers, man-made sources and bedrock conductors. Identification of natural conductors is based on the rate of transient decay, magnetic correlation and topography. Horizontal conductors are identifiable by examining the power/line monitor and the flight track video.

EM Anomaly Presentation. Due to map scale constraints in this presentation, only the anomaly picks are located by symbol based on channel response. For more detailed quantitative information on the anomalies presented on these maps, the user is referred to the anomaly listing report associated with the digital data set for each survey area.

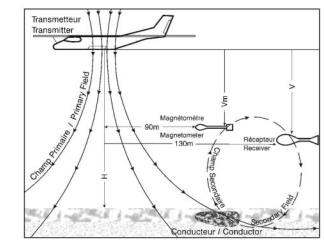
Table with 4 columns: Zone Area, Nom du levé / Survey name, Kilomètres / Total Kilometers, Espacement des lignes de contrôle / Control Line Spacing (km), Tr.Rx H (m), Tr.Rx V (m), Durée de la Période / Duration (min), Temps net / Off-Time (min), Moment de la Journée / Time of Day (hr:min).

Notation géophysique conventionnelle. Commission géologique du Canada et Ministère des Ressources naturelles et de la Faune du Québec, 2009. Géophysical Series, NTS 32 C/3, MEGATEMTM Surveys of the Abitibi Greenstone Belt, Québec. Commission géologique du Canada, Dossier public 5943. Ministère des Ressources naturelles et de la Faune du Québec, DP 2008-04, échelle 1:50 000.

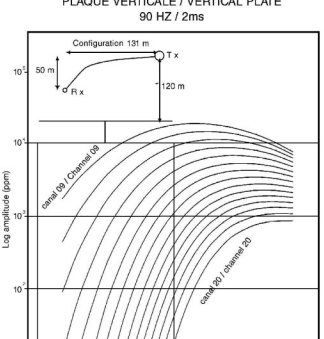
GEOPHYSICAL SERIES / SÉRIE DES CARTES GÉOPHYSIQUES
ELECTROMAGNETIC ANOMALIES AND FLIGHT PATH / ANOMALIES ÉLECTROMAGNÉTIQUES ET TRAJECTOIRE DE VOL



GÉOMÉTRIE DU SYSTÈME / SYSTEM GEOMETRY



NOMOGRAMME / NOMOGRAM
PLAQUE VERTICALE / VERTICAL PLATE
90 Hz / 2ms



SYMBOLES DES ANOMALIES ÉLECTROMAGNÉTIQUES / ELECTROMAGNETIC ANOMALY SYMBOLS

- Supérieure / Surface
- Antérieure / Cultural
- 1-2
- 3-4
- 5-6
- 7-8
- 9-10
- 11-12

SYMBOLES PLANIMÉTRIQUES / PLANIMETRIC SYMBOLS

- Routes / Series
- Chemin de fer / Railway
- Ligne de transport d'énergie / Power Line
- Drainage / Drainage
- Ligne de vol / Flight Path
- Roads / Trails
- Highway
- Power Line
- Drainage
- Flight Path

LOCALISATION DE LA CARTE / MAP LOCATION



Le ministère des Ressources naturelles et de la Faune du Québec (MRNF) et Ressources naturelles Canada (NRCan) remercient Xstrata Zinc Canada et Mines Virginia Inc. d'avoir prêté ces données au Plan ouvert du MRNF et au projet Abitibi du programme de Télédétection géophysique ciblée (GSC) du Secteur des sciences de la Terre de NRCan permettant ainsi la publication de cette carte.

Auteurs : Commission Géologique du Canada et Ministère des Ressources naturelles et de la Faune du Québec
Authors: Geological Survey of Canada and Ministère des Ressources naturelles et de la Faune du Québec

This map and the digital geophysical data may also be obtained from the ministère des Ressources naturelles et de la Faune du Québec internet web site "Online Products and Services" at <http://www.mrfn.gov.ca/eng/produit-services/minres>



DOSSIER PUBLIC 5943 DE LA CGC / GSC OPEN FILE 5943
DP 2008-04 DU MRNF

SÉRIE DES CARTES GÉOPHYSIQUES / GEOPHYSICAL SERIES
SNRC 32 C/3 / NTS 32 C/3

LEVÉS MEGATEMTM DE LA CEINTURE DE ROCHES VERTES DE L'ABITIBI, QUÉBEC
MEGATEMTM SURVEYS OF THE ABITIBI GREENSTONE BELT, QUEBEC

ANOMALIES ÉLECTROMAGNÉTIQUES ET TRAJECTOIRE DE VOL
ELECTROMAGNETIC ANOMALIES AND FLIGHT PATH

Échelle 1/50 000 - Scale 1:50 000



Projections géographiques et coordonnées géographiques
Universal Transverse Mercator Projection
Geographical coordinates and geodetic coordinates

Les versions numériques de ces cartes ainsi que les données géophysiques en formats « profil » et « grille » et les bases de données de données géophysiques et géochimiques de l'États de données géophysiques de Ressources naturelles Canada (<http://www.mrfn.gov.ca/eng/produit-services/minres>). La carte et les données numériques sont aussi disponibles, moyennant des frais, au Centre de données géophysiques de la Commission géologique du Canada au 615, rue Booth, Ottawa (Ontario) K1A 0E8. Téléphone: (613) 995-5326, courriel: info@blg.mrfn.gc.ca

Digital versions of this map and the corresponding digital line data, gridded geophysical data and anomaly listings by individual survey areas may be downloaded, at no charge, from Natural Resources Canada's Geoscience Data Repository for Geophysical and Geochemical Data at <http://www.mrfn.gov.ca/eng/produit-services/minres>. The map and digital data are also available, for a fee, from the Geophysical Data Centre, Geological Survey of Canada, 615 Booth Street, Ottawa, Ontario, K1A 0E8. Telephone: (613) 995-5326, email: info@blg.mrfn.gc.ca

Cette carte et les données géophysiques numériques peuvent être aussi obtenues à partir de « Produits et services en ligne » sur le site internet du ministère des Ressources naturelles et de la Faune du Québec: <http://www.mrfn.gov.ca/eng/produit-services/minres>

Client files are products that have been prepared through the GSC's formal publication process. Les données numériques sont des produits en ligne de la GSC. Client files are products that have been prepared through the GSC's formal publication process.

Introduction

Plusieurs gisements de métaux communs découverts en Abitibi depuis les années 1950 ont été trouvés au moyen de techniques géophysiques et géochimiques courantes durant cette période ainsi que par prospectivité géologique. En raison de leurs limites, ces anciennes techniques n'ont permis de découvrir que des gisements minéraux localisés près de la surface. Suite à la découverte en 2000 du gisement Persépolis près de Malagani par le système MEGATEMTM Noranda Exploration (maintenant Xstrata Zinc Canada) et ses partenaires Mines d'Or Virginia Inc. (maintenant Mines Virginia Inc.) et Novocent en 2002, le système MEGATEMTM par Fugro Airborne Surveys (FAS) a été développé et a permis de découvrir de nombreux gisements de métaux communs et de métaux précieux à des profondeurs allant jusqu'à 200 m. Le système MEGATEMTM par Fugro Airborne Surveys (FAS) a été développé et a permis de découvrir de nombreux gisements de métaux communs et de métaux précieux à des profondeurs allant jusqu'à 200 m. Le système MEGATEMTM par Fugro Airborne Surveys (FAS) a été développé et a permis de découvrir de nombreux gisements de métaux communs et de métaux précieux à des profondeurs allant jusqu'à 200 m.

Caractéristiques des levés
Ces levés ont été exécutés par FAS entre juillet 2001 et août 2003. Les données obtenues ont été recueillies par un système électromagnétique à domaine temporel du type MEGATEMTM et par un magnétomètre au sol à bande étroite. L'espacement nominal des lignes de vol était de 200 m et la hauteur moyenne de vol de l'avion était de 120 m. Les lignes de contrôle étaient orthogonales aux lignes de vol à une fréquence de 10 Hz et les données de contrôle étaient enregistrées à une fréquence de 4 Hz. Par la suite, elles ont été interpolées dans les bases de données finales à une fréquence de 3 Hz pour chaque levé. La fréquence du système électromagnétique était de 90 Hz pour tous les levés pour un taux de répétition de 180 pulses par seconde. L'espacement des lignes de contrôle, la hauteur des capteurs et les paramètres de fonctionnement des instruments ont varié selon les levés (voir le tableau ci-dessous).

Compilation des données
Toutes les données des levés ont été traitées et compilées par FAS. La Commission géologique du Canada (CGC) a fusionné les quadrangles de chacun des levés pour produire une seule image sans jointes illustrant chaque trajectoire de la présente représentation cartographique. Ces données n'ont pas été modifiées ou soumises à un traitement secondaire par la CGC.

FAS a d'abord corrigé les données magnétiques de chaque levé. Pour ce faire, l'élément de base fréquence des données magnétiques diurnes locales d'une station de base a été éliminé des données aériennes sur le champ magnétique total, après application du correctif approprié en comparant les réponses électromagnétiques aux données de référence (IGRF) à 60 calculé à partir de la hauteur du capteur magnétométrique à chaque point dans la base de données à la date de l'exécution du levé, puis à la fois soustraite pour obtenir le champ magnétique total résiduel. Les résultats ont été corrigés de la variation de la conductivité de la croûte terrestre et les données ont été converties en une échelle de valeurs relatives selon les lignes de contrôle, micro-niveaux et interpolés pour produire un quadrillage à maille de 50 m. L'élimination de l'IGRF, qui représente le champ magnétique du noyau terrestre, produit une composante résiduelle essentiellement rattachée à des magnétisations dans la croûte terrestre. La dérivée première verticale a été calculée dans le domaine des fréquences à partir du quadrillage du champ magnétique total résiduel.

Système électromagnétique
Les données électromagnétiques ont été recueillies au moyen du système électromagnétique à domaine temporel du type MEGATEMTM. Ce système transmet un signal depuis une bobine horizontale contrôlée sur l'avion et mesure la réponse de conducteurs souterrains, au moyen d'un récepteur électromagnétique sur trois axes (X, Y et Z) qui enregistre des données sur 20 canaux par seconde, sur chaque des trois axes. Le récepteur électromagnétique mesure le taux de variation (dB/dt) direct et le champ magnétique secondaire, B, est intégré de manière numérique.

L'interprétation quantitative des données du système MEGATEMTM figurant sur la carte des anomalies électromagnétiques a été effectuée en comparant les réponses électromagnétiques aux données de référence (IGRF) à 60 calculé à partir de la hauteur du capteur magnétométrique à chaque point dans la base de données à la date de l'exécution du levé, puis à la fois soustraite pour obtenir le champ magnétique total résiduel. Les résultats ont été corrigés de la variation de la conductivité de la croûte terrestre et les données ont été converties en une échelle de valeurs relatives selon les lignes de contrôle, micro-niveaux et interpolés pour produire un quadrillage à maille de 50 m. L'élimination de l'IGRF, qui représente le champ magnétique du noyau terrestre, produit une composante résiduelle essentiellement rattachée à des magnétisations dans la croûte terrestre. La dérivée première verticale a été calculée dans le domaine des fréquences à partir du quadrillage du champ magnétique total résiduel.

Représentation des anomalies électromagnétiques
En raison de contraintes d'échelle, seuls l'emplacement et les caractéristiques de certains anomalies électromagnétiques sont représentés sur les cartes. Les anomalies électromagnétiques sont représentées par des symboles indiquant leur position relative aux canaux. Pour les données quantitatives plus détaillées sur les anomalies représentées sur ces cartes, l'utilisateur peut consulter la liste des anomalies rattachées au site internet de Ressources naturelles Canada (<http://www.mrfn.gov.ca/eng/produit-services/minres>). Les données quantitatives plus détaillées sur les anomalies représentées sur ces cartes, l'utilisateur peut consulter la liste des anomalies rattachées au site internet de Ressources naturelles Canada (<http://www.mrfn.gov.ca/eng/produit-services/minres>). Les données quantitatives plus détaillées sur les anomalies représentées sur ces cartes, l'utilisateur peut consulter la liste des anomalies rattachées au site internet de Ressources naturelles Canada (<http://www.mrfn.gov.ca/eng/produit-services/minres>).

Introduction
Many of the base metal deposits discovered in the Abitibi Mining Camp during the 1950s were found using geophysical and geochemical methods available at that time as well as geological prospecting. Limitations of these older techniques resulted in the detection of only those mineral deposits within a few metres of the earth's surface. Following the discovery of the Persépolis deposit in 2000 by the MEGATEMTM airborne electromagnetic system near Malagani, the Noranda Exploration (now Xstrata Zinc Canada) and its partner Mines Virginia Inc. and Novocent carried out MEGATEMTM surveys flown by Fugro Airborne Surveys (FAS) in the Abitibi Greenstone Belt. The objective was to search for additional mineral deposits. The MEGATEMTM system is a time-domain electromagnetic system that transmits a signal from a horizontal loop controlled on the aircraft, and measures the response of buried conductors using a three-axis (X, Y and Z) receiver measuring dB/dt directly and the secondary magnetic field B is numerically integrated.

Survey characteristics
These surveys were carried out by FAS between July 2001 and August 2003. The data were acquired using a MEGATEMTM time domain EM system and a split-beam cesium vapour magnetometer. The EM receiver and the magnetometer were towed behind the aircraft (AS-7). The nominal flight height was 200 m and the nominal track width was 200 m. Control lines were flown orthogonal to the traverse lines. The flight path was recorded using post-flight differential corrections to the real-time Positioning System data. A vertically mounted video camera was used to record images of the ground. The magnetic data were recorded at 10 Hz. Electromagnetic data were recorded at 4 Hz. These were subsequently interpolated to 3 Hz in the final database for each block. The operating frequency of 90 Hz and pulse repetition rate 180 pulses/sec remained constant for all surveys. The control line separation, antenna heights and instrument operating parameters which may vary for each survey are shown in the specifications table below.

Data compilation
All survey data were processed and compiled by FAS. The Geological Survey of Canada (GSC) merged the grids of individual blocks into one seamless image of each theme for this map presentation. These data have not been altered or reprocessed by the GSC in any way.

Al FAS, the magnetic data for each survey block were first adjusted by the removal of the low frequency component of the local magnetic base station diurnal data from the airborne total magnetic intensity data after appropriate logs had been applied. The International Geomagnetic Reference Field (IGRF) was calculated for the magnetometer sensor height at each point in the database for the date of execution of each survey and removed to produce the residual magnetic total field. The results were inverted to the control lines, micro-niveaux and interpolated to produce a 50 m grid. Removal of the IGRF, representing the magnetic field of the Earth's core, produces a residual component related essentially to magnetizations within the Earth's crust. The first vertical derivative was calculated from the final residual total magnetic field grid in the frequency domain.

Electromagnetic System
Electromagnetic data were acquired using the MEGATEMTM time domain EM system. The system transmits a signal from a horizontal loop controlled on the aircraft, and measures the response of buried conductors using a three-axis (X, Y and Z) receiver measuring dB/dt directly and the secondary magnetic field B is numerically integrated.

Quantitative interpretation of the MEGATEMTM data presented in the anomaly map was accomplished by comparing the EM responses with nomograms obtained from mathematical models. The channel amplitude ratios of given responses are mainly a function of the conductivity of the source. The response magnitude varies with conductor depth and geometry. The reference nomograms for the survey are based on the response of a vertical rectangular thin plate having a 600 m strike length and 300 m depth extent, and with its upper edge located at ground surface. If the shape of a geological conductor differs significantly from a vertical plate, estimates will be inaccurate or, in extreme situations, meaningless. Therefore, caution should be exercised when making recommendations for drilling or other follow-up activities based on quantitative interpretation of airborne EM data. Different results will be obtained using other models for quantitative interpretation.

The MEGATEMTM system responds to conductive overburden, near-surface horizontal conductive layers, man-made source and bedrock conductors. Identification of natural conductors is based on the relationship between magnetic correlation and response shape, together with the response pattern and topography. Man-made responses are identifiable by examining the power line monitor and the flight track video.

EM Anomaly Presentation
Due to map scale constraints in this presentation, only the anomaly peaks are located by symbols based on channel responses. For more detailed quantitative information on the anomalies presented on these maps, the user is referred to the anomaly listing report associated with the digital data set for each survey area. The electromagnetic anomaly peaks listed in this presentation are those provided by FAS. A separate anomaly selection was prepared by Xstrata Zinc Canada in order to identify only the EM anomalies useful for base metal exploration. Both anomaly listings are available digitally.

Tableau des paramètres des levés / Table of Survey Parameters

Zone Area	Nom du levé Survey name	Kilomètres Total kilometres	Espacement des lignes de contrôle Control Line Spacing (km)	Tx/Rx H (m) Tx/Rx H (ft)	Tx/Rx W (m) Tx/Rx W (ft)	Distance de l'émission Pulse Width (m)	Temps mort Off-Time (s)	Moniteur de vitesse / Speed (km/h)
A	Sudbury Ouest	2 600	4	131	56	2 200	3 295	1,8
B	Malagani Ouest	4 000	4	130	40	2 200	3 295	1,8
C	Dispos	3 004	4	131	56	2 200	3 295	1,66
D	Joubert	5 005	4	130	40	2 200	3 295	1,8
E	Lafontaine	302	4	131	56	2 200	3 295	1,66
F	Noranda Est	11 176	4	131	56	2 200	3 295	1,66
G	Stascona	4 427	4	131	56	2 200	3 295	1,8
H	Greenwood	7 000	4	131	56	2 200	3 295	1,66
I	Doreville Nord	8 327	5	131	56	2 200	3 295	1,75
J	Contagay	7 160	4	131	56	2 200	3 295	1,75
K	Laflamme	4 883	4	131	56	2 200	3 295	1,75
L	Langlois	5 953	5	131	56	2 200	3 295	1,75
M	Amos Ouest	2 814	4	131	56	2 200	3 295	1,8
N	Amos	8 008	4	131	56	2 200	3 295	1,7
O	Amos Est	2 019	4	131	56	2 200	3 295	1,66
P	Val d'Or	8 739	4	131	56	2 200	3 295	1,75

SYSTÈME NATIONAL DE RÉFÉRENCE CARTOGRAPHIQUE ET INDEX DES CARTES GÉOPHYSIQUES
NATIONAL TOPOGRAPHIC SYSTEM REFERENCE AND GEOPHYSICAL MAP INDEX

9964		9965		9966		9967		9968		9969		9970		9971		9972		9973		9974		9975		9976		9977		9978																																																																																																																																																																																																																																																																																																																																															
32 014	32 015	32 016	32 017	32 018	32 019	32 020	32 021	32 022	32 023	32 024	32 025	32 026	32 027	32 028	32 029	32 030	32 031	32 032	32 033	32 034	32 035	32 036	32 037	32 038	32 039	32 040	32 041	32 042	32 043	32 044	32 045	32 046	32 047	32 048	32 049	32 050	32 051	32 052	32 053	32 054	32 055	32 056	32 057	32 058	32 059	32 060	32 061	32 062	32 063	32 064	32 065	32 066	32 067	32 068	32 069	32 070	32 071	32 072	32 073	32 074	32 075	32 076	32 077	32 078	32 079	32 080	32 081	32 082	32 083	32 084	32 085	32 086	32 087	32 088	32 089	32 090	32 091	32 092	32 093	32 094	32 095	32 096	32 097	32 098	32 099	32 100	32 101	32 102	32 103	32 104	32 105	32 106	32 107	32 108	32 109	32 110	32 111	32 112	32 113	32 114	32 115	32 116	32 117	32 118	32 119	32 120	32 121	32 122	32 123	32 124	32 125	32 126	32 127	32 128	32 129	32 130	32 131	32 132	32 133	32 134	32 135	32 136	32 137	32 138	32 139	32 140	32 141	32 142	32 143	32 144	32 145	32 146	32 147	32 148	32 149	32 150	32 151	32 152	32 153	32 154	32 155	32 156	32 157	32 158	32 159	32 160	32 161	32 162	32 163	32 164	32 165	32 166	32 167	32 168	32 169	32 170	32 171	32 172	32 173	32 174	32 175	32 176	32 177	32 178	32 179	32 180	32 181	32 182	32 183	32 184	32 185	32 186	32 187	32 188	32 189	32 190	32 191	32 192	32 193	32 194	32 195	32 196	32 197	32 198	32 199	32 200	32 201	32 202	32 203	32 204	32 205	32 206	32 207	32 208	32 209	32 210	32 211	32 212	32 213	32 214	32 215	32 216	32 217	32 218	32 219	32 220	32 221	32 222	32 223	32 224	32 225	32 226	32 227	32 228	32 229	32 230	32 231	32 232	32 233	32 234	32 235	32 236	32 237	32 238	32 239	32 240	32 241	32 242	32 243	32 244	32 245	32 246	32 247	32 248	32 249	32 250	32 251	32 252	32 253	32 254	32 255	32 256	32 257	32 258	32 259	32 260	32 261	32 262	32 263	32 264	32 265	32 266	32 267	32 268	32 269	32 270	32 271	32 272	32 273	32 274	32 275	32 276	32 277	32 278	32 279	32 280	32 281	32 282	32 283	32 284	32 285	32 286	32 287	32 288	32 289	32 290	32 291	32 292	32 293	32 294	32 295	32 296	32 297	32 298	32 299	32 300	32 301	32 302	32 303	32 304	32 305	32 306	32 307	32 308	32 309	32 310	32 311	32 312	32 313	32 314	32 315	32 316	32 317	32 318	32 319	32 320	32 321	32 322	32 323	32 324	32 325	32 326	32 327	32 328	32 329	32 330	32 331	32 332	32 333	32 334	32 335	32 336	32 337	32 338	32 339	32 340	32 341	32 342	32 343	32 344	32 345	32 346	32 347	32 348	32 349	32 350	32 351	32 352	32 353	32 354	32 355	32 356	32 357	32 358	32 359	32 360	32 361	32 362	32 363	32 364	32 365	32 366	32 367	32 368	32 369	32 370	32 371	32 372	32 373	32 374	32 375	32 376	32 3